

金屬電火花加工

高亨德、楚振斌編譯

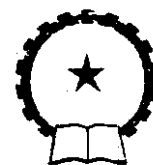


机械工业出版社

金屬電火花加工

高亨德、楚振斌編譯

熊大達校訂



机械工业出版社

1959

出版者的話

本書是將蘇聯現有的金屬電火花加工資料加以彙編的，還編入了我國在這方面已有的部分經驗。其中，先介紹有關金屬電火花加工的物理本質、所使用的各種直流電源和線路以及電火花加工機床的自動控制問題，然後系統地介紹了金屬電火花加工的各種方法和設備。

本書可供工程技術人員參考。

NO. 2822

1959年5月第一版 1959年5月第一版第一次印刷

787×1092 $\frac{1}{25}$ 字數 258 千字 印張 13 $\frac{3}{25}$ 00,001—10,150 冊

機械工業出版社(北京阜成門外百万庄)出版

機械工業出版社印刷廠印刷 新華書店發行

北京市書刊出版業營業許可証出字第 008 号 定價(11) 2.05 元

序 言

在技术飞跃發展的情况下，要求利用高机械性能和耐热性能的特种鋼和合金。这些鋼和合金很难用普通的机械加工方法进行加工，因此在科学技術人員面前提出了一項新的任务——研究各种新的金屬加工方法。

金屬电火花加工法是苏联学者B. P. 拉扎連科和H. И. 拉扎連科夫妇在1943年發明的。由于他們發明了这种新穎的金屬加工方法，曾荣获斯大林奖金。金屬电火花加工法主要是利用金屬电腐蝕現象，因而可以加工各种硬度和不同物理性能的导电材料和合金。利用这种方法可以加工淬火鋼，也可以加工硬質合金。这种新穎的金屬加工法在苏联工业上已經获得了广泛的应用。在苏联的許多科学研究机关和工厂中正在作进一步的研究，使它更为完善。

金屬电火花加工法約在 1952 年开始傳入 我国。目前許多工厂已进行了一些試驗，有的工厂已将此法正式应用到生产上去了。

別尔烏辛同志在苏联共产党第二十次代表大会的报告中指出：“在冶金、化学、机器制造和其他工业部門中将广泛采用依靠电流的化学作用和热作用的最完善的电气工艺規程”。由此可見，作为依靠电流的热作用的电火花加工，必将日益显示其优越性，且将更加广泛地被运用于机械制造业。

目前我国在建設社会主义总路綫的光芒照耀下，工农业正以万馬奔騰的形势向前發展。刘少奇同志在中共第八屆第二次全国代表大会的报告中指出：“技术革命方面，主要的任务是：把包括农业和手工业在内的全国經濟有計劃有步驟地轉到新的技术基础上，轉到現代化大生产的技术基础上，使一切能够使用机器的劳动都使用机器，实现全国城市和农村的电气化；……”。在这偉大

而艰巨的技术革命中，电火花加工法必将承担起極其重要的任务。例如，各种模具制造的机械化問題，就有賴于电火花加工来实现。

为了把这一先进加工方法更有系統地介紹給大家，以滿足工农业建設的需要，笔者特将苏联現有的金屬电火花加工資料加以彙編而成此書，書中还編入了我国在这方面已有的部分經驗。本書先介紹有关金屬电火花加工的物理本質、所使用的各种直流电源和線路以及电火花加工机床的自动控制問題，然后系統地介绍了金屬电火花加工的各种方法和設備，以供工程技术人员参考。本書的序言、第一章、第四章、第五章和第六章是高亭德同志編譯的。而第二章、第三章、第七章和第八章是楚振斌同志編寫的。由于取材于不同文献，書中采用的符号，在各章中可能不尽一致。笔者对金屬电火花加工法缺乏深入研究，書中难免会有不尽妥善的地方，希望和讀者共同研究并得到指正。

目 录

序言	3
第一章 概論	7
第二章 电火花加工的物理本質	11
第一节 放电与电蝕	11
第二节 脉冲放电中电蝕的基本規律	15
第三节 电蝕的極效应	18
第四节 脉冲放电中金屬电蝕的机构	27
第三章 直流电源和線路	41
第一节 直流發电机	41
第二节 半导体整流器	43
第三节 机械整流器	46
第四节 R 線路	53
第五节 RC 線路	54
第六节 LC 線路	64
第七节 RLC 線路	66
第八节 RLCL 線路	68
第九节 RCR 線路	71
第十节 其他線路	74
第四章 电火花加工机床的自動控制	75
第一节 电極工具的进給方法	75
一、主軸悬浮的自動控制系统 (81) 二、电極工具的剛性 进給(88)	
三、利用液压傳动的控制系统(90) 四、利用可逆电动机的可逆控制 系統(92) 五、利用不可逆电动机的可逆控制系统(96) 六、不可逆 的双位置控制系统(105) 七、不可逆的步进制控制系统(109)	
第二节 自動控制、自动檢查和自动保护	110
一、机床的自动接通和断开(110) 二、电極工具从加工孔中的自动退 出装置(119) 三、自动調換加工規准的裝置 (122) 四、电火花加工 时的灭弧方法(125) 五、电火花加工机床控制系统的自动調整 (126)	
第五章 电火花穿孔和制模具	133
第一节 总論	133

一、金屬電腐蝕的強烈度 (134)	二、表面質量 (138)	三、加工精度 (142)
四、電極工具 (145)	五、工作液 (150)	
第二節 电火花穿孔和制模具的設備 150		
一、固定式电火花穿孔机床 (151)	二、可移式电火花加工机床 (170)	
三、穿小孔的电火花加工机床 (182)		
第三節 电火花穿孔和制模具的实例 209		
第六章 金屬電火花表面強化 216		
第一節 概論		216
第二節 電強化的物理現象		218
第三節 電火花強化層的性質		222
第四節 電火花強化的工藝規律		231
一、加工規準的功率和強化層深度、硬度間的關係 (231)	二、電極材	
料對強化層深度和硬度的影響 (235)	三、電容量對強化層深度和硬	
度的影響 (236)	四、單位強化時間對強化層深度和硬度的影響 (238)	
第五節 电火花強化設備 239		
一、設備 (239)	二、強化過程的機械化 (250)	
第六節 安全技術 255		
第七節 电火花強化的實際應用 257		
一、刀具的电火花强化 (258)	二、模具的电火花强化 (262)	
第七章 电火花切割 265		
第一節 低壓电火花加工原理		265
第二節 电火花切割的工藝圖		267
第三節 工作液		268
第四節 电火花切割時的基本工藝規律和電規準		269
第五節 切割机床		278
第六節 电火花切割的应用		288
第七節 技術經濟指標		292
第八章 电火花磨削 296		
第一節 緒言		296
第二節 高壓电火花磨削的工藝規律及其最適宜的加工規準		296
第三節 低壓电火花磨削的工藝規律及其加工規準		303
第四節 电火花磨削机床		309
第五節 电火花磨削的应用舉例		317
參考文獻 325		

第一章 概論

當我們開閉電門或電閘時，在閘刀和它的接觸部分可以發現金屬瘤或表面不整齊的火山口狀的缺口。這種接觸部分的損壞是由於開閉電門時發生放電現象而引起的。電極的這種損壞叫做電腐蝕。

電腐蝕現象早在一百年前就被發現了。它經常發生在電氣設備的接觸處，使電氣設備遭受破壞。由於自動控制和遙遠控制的日益發展，減輕或消除電腐蝕現象，保證電氣設備正常而長時期的工作，成為非常迫切的問題。這就給科學技術界提出了一個重要的研究任務。

最近20年來，對於電腐蝕現象確定了兩個研究方向。其一是在研究金屬的性能着手，以便選擇抗蝕性最強的金屬作為接觸點。另一是從研究放電的物理現象着手，以便確定它的原因，提出熄滅電弧的基本方法。蘇聯斯大林獎金獲得者B. P. 拉扎連科(B. P. Лазаренко)和H. И. 拉扎連科(H. И. Лазаренко)夫婦在這方面作了極大的努力。他們旨在研究電腐蝕現象的本質，從而掌握了電腐蝕現象的某些規律。研究結果證明，所有導電材料，不管它的物理化學性質如何，都要遭受電腐蝕作用。

在他們的研究工作中，進一步明確了電腐蝕極性、電腐蝕程度和放電特性的關係。二位拉扎連科指出，在純電阻負荷和純電感負荷的直流電路中，發生普通的穩定電弧放電。電弧存在的時間取決於接點分離的速度和接點離開的距離。在電弧放電中，陰極遭受破壞。若在氣體介質中發生電弧放電，金屬微粒從陰極移向陽極，電極劇烈地被加熱而表面受到氧化。在電容和電極並聯的直流電路中，放電現象從普通的電弧放電轉變為不穩定的脈冲

● 參考文獻[10]。

放电，即火花放电。电極損坏的現象亦發生改变：当电極断开时的电流小于某临界值时，电腐蝕現象从阴極轉向阳極，金屬微粒从阳極移向阴極。电極几乎不加热，电極表面亦不氧化。当改变电極的工作介質成分或改变电極的化学成分时，同样可以得到上述現象。因此，总结起来講：金屬电腐蝕程度和电腐蝕極性，乃是取决于工作电路参数間的相互关系，同时还取决于工作介質和电極金屬的成分。

以上所叙述的都是在气体介質中得到的电腐蝕特性。1941年，二位拉扎連科利用这种金屬轉移的現象进行金屬鍍蓋。目前这一方法在苏联工业上已經广泛地加以利用，也就是利用硬質合金和石墨在机器零件和工具上进行电火花强化，提高它們的耐磨性，延長它們的使用寿命。近年来我国也开始學習和使用了这一方法。

二位拉扎連科接着研究液体介質中的电腐蝕現象。最初利用的液体介質大部分是矿物油。油經過長時間試驗后变成黑色。經过化学分析証明，油变黑是因为油中存在无数1至60~80公忽的球状金屬微粒，这些微粒是火花放电时从电極上抛射出来的金屬顆粒。B. P. 拉扎連科等人曾經建議利用这种方法来制造金屬粉末。

在液体介質中發生电弧放电时，由于阴極大量損耗，阳極的輪廓近似地刻划在阴極上。在液体中發生火花放电时，阳極上非常精确地刻制出阴極的輪廓。

根据上述电腐蝕特性，过去被認為有害的不可避免的电腐蝕現象，現在加以控制后，給金屬加工开辟了新的道路，成了新穎的金屬电火花加工法。

1943年初B. P. 拉扎連科和H. И. 拉扎連科提出了一种电火花加工的电路圖（圖1.1）。这种电路圖簡單而实用。共分为两部分：供电線路（圖中細綫部分）和工作線路（亦称放电線路，圖中粗綫部分）。工作線路的电阻和电感都很小，使电容器C能够順利地进行放电。电容器C可以从0改变到400微法拉。供电線路接在

直流电源上，鎮定电阻 R 用来調整綫路电流。工件 1 接在工作綫路的阳極，电極工具 2 接在阴極。工作时两个电極都沉沒在液体电介質中（电火花强化镀盖除外），例如煤油、变压器油等等。

这一綫路的作用原理从圖 1.1 中可以很明显地看出：电容器 C 經過鎮定电阻 R

R 从电源获得充电。在充电过程中，电容器 C 的电压，也就是电極間的电位差逐渐上升，直到电極空隙間發生火花放电为止。在放电过程中，电極金属被除去。在这綫路中，周期性地充电和放电，就完成了金属电火花加工过程。

根据金属电火花加工法的原理，可以利用改变綫路参数 (R 、 C 、 L) 的方法来控制加工过程。金属电火花加工法可以加工任何硬度和任何韧性的导电材料。所以金属电火花加工法發明以来的时间虽然很短，但它在工业上却已占据了很重要的地位。目前在苏联已广泛利用在以下操作中：

1. 制造冲模、鍛模和金属压印模等；
2. 制造拉絲模子、中心綫为曲綫形状的孔道、小直徑的孔（达 10 公忽）以及在硬质合金上制螺紋等；
3. 金属的直綫或曲綫形切割；
4. 加工窄縫（达 100 公忽）；
5. 磨削平面和圓面；
6. 磨制車刀和多刃刀具；
7. 电火花切割；
8. 金属表面的电火花强化；
9. 各种辅助工作（如取出折断的工具等等）。

以上所列举的加工种类，还远沒有全部發揮金属电火花加工法的潜在力量。

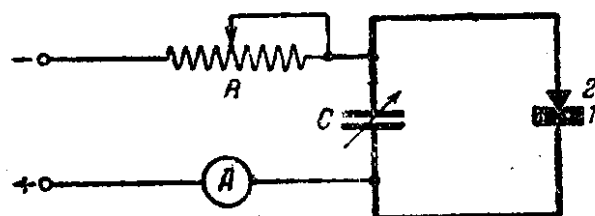


圖1.1 电火花加工的綫路圖。

應該注意，这种金屬加工法主要是适用于加工淬火鋼、硬質合金以及其他韌性大的金屬。但是在許多情況下也适用于加工普通鋼料。例如在普通鋼上用機械加工法鑽中等大小的孔（从1~40公厘），極為便利。但是直徑小於1公厘或大於50公厘的孔，用电火花加工法就顯得有利了。再如电火花切割，在任何情況下，不論是淬火鋼還是普通鋼都勝于機械切割。許多操作（例如製造中心線為曲線形的孔道）在电火花加工法未發明前都沒法實現。刀具电火花强化后比强化前的寿命要提高1~1.5倍。

在大多数操作中（除电火花切割和磨削外），电火花加工的基本缺点是生产率低，平均不超过 $300\sim600\text{公厘}^3/\text{分}$ 。另一缺点是电極工具同样遭受电腐蚀作用而损耗，在加工过程中，使电極很快地变形，影响加工精度。生产率低和电極工具的损耗，大大地縮小了电火花加工的应用范围，使得在許多情況下不能利用电火花加工法。因此，解决这些問題，就决定着电火花加工法的發展前途。

和电火花加工法几乎同时出現的还有阳極机械加工法。阳極机械加工法应用在刃磨刀具、切割金屬以及精磨金屬等方面具有很大的优越性，所以到目前为止电火花加工法主要应用在强化和制孔穴等方面。

最近几年来，在电火花加工的基础上又發展了电脉冲加工法，它的生产率可以提高到 $1000\sim5000\text{公厘}^3/\text{分}$ ，电極工具的损耗也大大减小。

第二章 电火花加工的物理本質●

金屬电火花加工是脉冲放电时电蝕的結果。金屬的电蝕乃是一种复杂的綜合的現象。这种現象的實驗和理論研究是十分困难的，因为火花間隙非常小（10~200公忽）、电路系統是非綫性的以及放电在液体中进行等等。

大多数的文献只研究了脉冲放电时电蝕過程的物理本質的个别現象。第一本全面和系統地分析这种現象的文献，要算是卓洛迪赫(Б. Н. Золотых) 的著作 [10]。尽管如此，关于电蝕過程的动力學，特別是液体介質中放电时的热化学過程和某些其他方面的問題，目前研究得还十分不够。在我国不但还没有进行这方面的研究，甚至連一本系統地介紹电火花加工理論和实际的文献也沒有。下面根据苏联有关电火花加工物理本質的文献，就几个主要問題进行介紹。

第一节 放电与电蝕

电流通过气体，在某些情况下通过非导电的液体和固体（电解液和电介質）的現象叫做介質击穿或放电。

放电有稳定放电和不稳定放电之分。其特性不随時間而改变的放电形式，叫做稳定放电。放电特性随時間而改变的，叫做不稳定放电。

放电又有自激与被激之分。

在气体或在电解液中的放电，仅在电極間隙中有电荷（电子或离子）存在时，即形成导电状态时才能發生。

在气体或电解液中形成离子的現象，叫做离子化或游离。为了發生放电，电極間隙中的游离或自由电子的存在是完全必要的

● 主要参考文献[10][37][16][35]。

条件。气体或电解液的游离是依靠所謂摧离素或游离因子：如宇宙線， γ 射線，紫外線，高溫或高電場等的作用。

假如放电的产生是由于上述外界游离因子的作用，那么这种放电叫做被激放电。如果没有外界游离因子的作用而能自己維持的放电叫做自激放电。

根据压力的不同、电源能量的大小、电極形状、間隙的大小、伏安特性曲綫的不同以及放电持續時間的長短，可以有不同形式的放电：电暈放电、輝光放电、火花放电和电弧放电。我們最感兴趣的是最后两种，即火花放电和电弧放电。

火花放电到目前为止，还没有統一的完全确定的定义。在电火花加工的条件下，根据卓洛迪赫的見解[10]，“火花放电”这一术语可理解为“脉冲放电”。或者当采用弛張線路时，理解为“容电火花”。

現在讓我們討論后两种放电的主要区别。

1. 电弧放电是稳定的放电，而火花放电則是断断續續的不稳定的放电。这两种放电均为自激放电。

2. 它們的放电通道形状也不同。根据文献[10]的介紹，电弧放电的通道是截头圓錐台形的(圖2.1)。阳極和阴極上的斑点大小不同，因此在阳極和阴極上的电流密度几乎相差 10 倍($I_a = 2800$

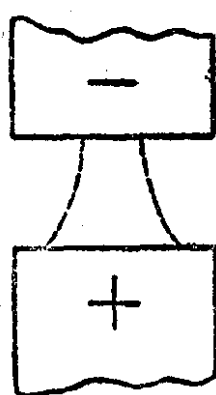


圖2.1 电弧放电通道的
形状簡圖。

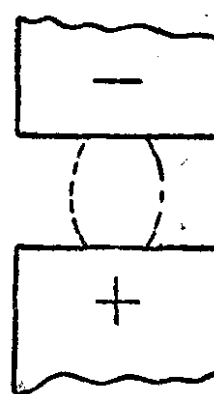


圖2.2 火花放电通道的
形状簡圖。

$A/\text{公分}^2$, $I_a = 300 A/\text{公分}^2$)。火花放电的通道是鼓形的(圖2.2)。陽極和阴極上的斑点大小实际上相等。两極上的电流密度也是一样的，并且达到 $10^5 \sim 10^6 A/\text{公分}^2$ 的数量。这要比电弧放电大得多。

3. 火花放电的溫度比电弧放电高得多。根据同一文献的介紹，例如在鎢电極之間燃起电弧时，阴極斑点的溫度近于 3000° 而阳極斑点的溫度近于 4000° 。而火花放电通道中的溫度根据許多作者的介紹高达 10000° 以上。

4. 伏安特性曲綫不同。在大气压力下，电弧放电的伏安特性的般情况如圖 2.3 所示[10]。而經驗公式如下：

$$U = a + bl + \frac{c + dl}{I^n} \quad (2.1)$$

式中 U ——电弧电压； a, b, c, d ——与电極材料和介質有关的常数； I ——电弧中的电流； l ——弧長； n ——对于不同金屬由 $0.34 \sim 1.38$ 。

火花放电的伏安特性曲綫如圖 2.4 所示[10]。它与圖 2.3 比較，可以証明脉冲放电——“容电火花”与稳定的电弧放电有本質的区别。



圖2.3 稳定电弧放电的伏安特性曲綫。

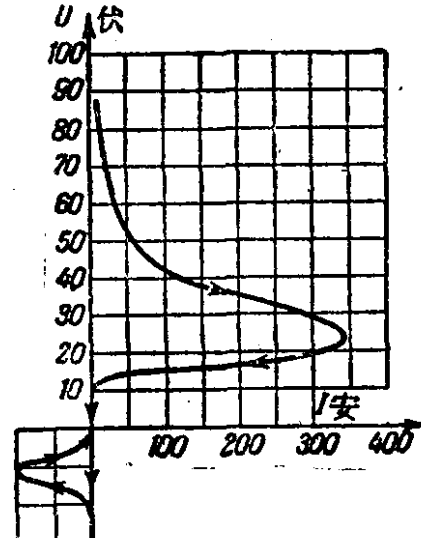


圖2.4 脉冲（火花）放电的伏安特性曲綫。

5. 放电持續時間不同。电弧放电的持續时间为 $10^{-4} \sim 10^{-1}$ 秒[3]而火花（脉冲）放电的持续时间为 $10^{-6} \sim 10^{-4}$ 秒[10]。也就是说火花放电的持续时间要比电弧放电短許多倍。

現在讓我們討論上述两种放电的电蝕特性問題。

在自激放电作用下电極金属毀坏的現象叫做电蝕。随着放电

形式的不同，电蝕特性也不同。

在电弧放电中，阴極腐蝕占优势（圖2.5）。在气体中进行电弧放电时，觀察到金屬的轉移現象是从阴極到阳極。随着电弧所消耗功率的提高，金属轉移方向可以改变[10]。此外根据塔卡諾夫(К. И. Таганов)利用光譜所进行的研究[32]确定：放电間隙的大小也可以促成电弧放电中电蝕过程（金属轉移方向）的轉化。

火花放电中，在大多数的情况下阳極腐蝕占优势（如果两个电極材料相同）。此外火花放电的电蝕現象的最大特点是：它与电極間介質成分有重大的关系。例如用相同的电参数进行火花放电时，在液体介質中的电蝕量比在气体介質中要大得多。另外由于火花放电的持續時間短，电極整体受热很少，不会高于 $30\sim40^{\circ}\text{C}$ ；而在电弧放电过程中电極受热厉害。

电火花放电能够使阴極的輪廓精确地复制在阳極上，这是实现金属的「尺寸加工」的重要条件。圖2.6是在圆盘銑刀碎片上用电弧（左）和电火花（右）制出的八角形孔的例子。从圖中看

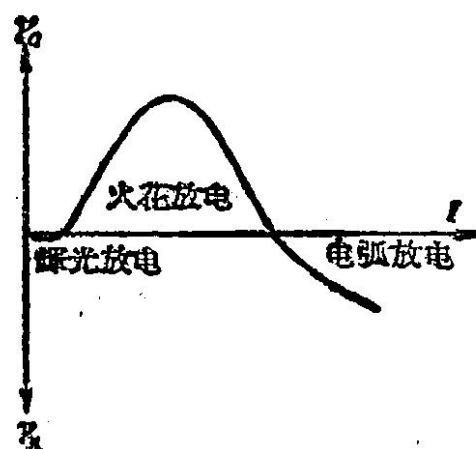


圖2.5 不同放电形式的电蝕特性圖。

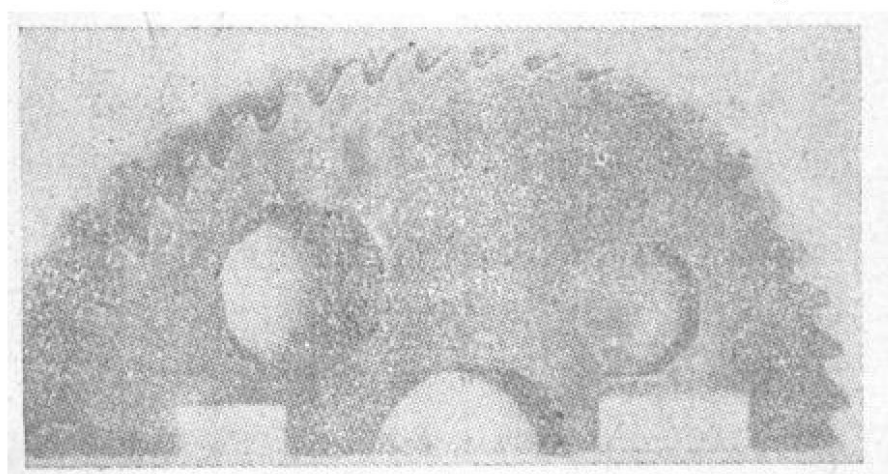


圖2.6 用电弧（左）和电火花（右）制出的八角形孔。

出：用电火花放电穿出的孔的輪廓十分清晰，而用电弧放电穿出的孔的周圍呈熔化現象。

因此，我們采用保証發生脉冲（火花）放电的綫路，以便实现金屬的尺寸加工。

第二节 脉冲放电中电蝕的基本規律

叠加原則 B. P. 拉扎連科曾指出：电火花加工时电蝕量是單个脉冲电蝕量的簡單总和，即

$$\gamma = \sum_i \gamma_u \quad (2.2)$$

式中 γ —— 电蝕量的总和； γ_u —— 單个脉冲的电蝕量。

这一原則对于电蝕过程研究方法的發展具有重要的意义。借助于研究單个脉冲，可以获得电火花加工物理学的基本資料。經驗證明[37]：这种研究电蝕現象的途徑是非常有效的，并且得到了广泛地采用。然而必須指出：公式(2.2)是在脉闊系数(скважность) $n_c = \frac{t_n}{t_u}$ 足够大时 (如 $n_c \geq 2$)，才是正确的。

这里 t_n —— 脉冲周期； t_u —— 脉冲持續時間。

同样还須指出[37]：公式(2.2)中 γ_u 值必須采用單个脉冲电蝕的平均值，因为电火花裝置綫路是非綫性系統。

电蝕量与脉冲能量的关系 根据卓洛迪赫的实验[37]确定：

$$\begin{aligned} \gamma_{ua} &= K_a W_u \\ \gamma_{uk} &= K_k W_u \end{aligned} \quad (2.3)$$

式中 γ_{ua} 和 γ_{uk} —— 單个脉冲作用下阳極和阴極的电蝕量； W_u —— 脉冲中的儲能； K_a 和 K_k —— 比例系数，与电極材料的热学性能和脉冲持續時間有关。

总电蝕量为：

$$\gamma_a = \sum_n n K_a W_u = N K_a W_u \quad (n = 1, 2, \dots, N), \quad (2.4)$$

$$\gamma_k = \sum_n n K_k W_u = N K_k W_u \quad (n = 1, 2, \dots, N),$$

式中 N —— 脉冲次数。

卓洛迪赫的實驗結果[37]如圖 2.7 所示。研究 $\gamma_{a,\kappa} = f(W_u)$ 的規律后得出下列結論：在其他条件相同时，电蝕量与間隙中放出的能量成比例。

每一脉冲在間隙中放出的能量由下式表示：

$$W_u = \int_0^{t_u} U_n(t) I_n(t) dt \quad (2.5)$$

式中 t_u ——脉冲持續時間； $U_n(t)$ ——火花間隙上的电压； $I_n(t)$ ——放电电流。

将 (2.5) 式代入 (2.4) 式得出一般形式：

$$\gamma_{a,\kappa} = K_{a,\kappa} N \int_0^{t_u} U_n(t) I_n(t) dt \quad (2.6)$$

电火花加工的生产率（电極蝕除速度） $\gamma'_{a,\kappa}$ 乃是單位時間內的电蝕量，即：

$$\gamma'_{a,\kappa} = \frac{d}{dt} \left[K_{a,\kappa} N \int_0^{t_u} U_n(t) I_n(t) dt \right]$$

或 $\gamma'_{a,\kappa} = K_{a,\kappa} f \int_0^{t_u} U_n(t) I_n(t) dt \quad (2.7)$

式中脉冲頻率 $f = \frac{dN}{dt} = \frac{1}{t_u}$

因为

$$\frac{1}{t_u} \int_0^{t_u} U_n(t) I_n(t) dt = P_{cp}$$

式中 P_{cp} ——間隙中放出的平均功率。

因此 $\gamma'_{a,\kappa} = K_{a,\kappa} P_{cp} \quad (2.8)$

由此可知，电火花加工生产率（更确切些說，电極蝕除速度）与火花間隙中放出的平均功率成比例。

电蝕量与金屬热学常数的关系 根据卓洛迪赫的實驗 [37]：